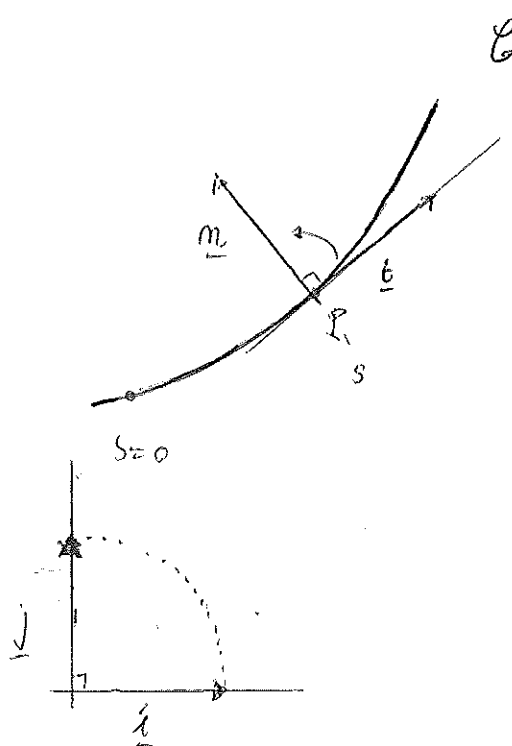


Geometria differenziale delle curve piane

Sia $\mathcal{C} : \underline{\Gamma} = \underline{\Gamma}(s)$

curva piana, semplice, liscia
regolare, parametrizzata dal
l'arco misurabile

(si ricordi $\|\underline{\Gamma}'\| = 1$:
velocità unitaria)



Sia \underline{n} (versore normale) in un
dato punto della curva) scelto in modo
(che $(\underline{i}, \underline{j})$ e $(\underline{t}, \underline{n})$ siano
equisinontate (i.e. la matrice
del cambiamento di base sia
ortogonale speciale ($\det = +1$)

$$\begin{pmatrix} \underline{n}^t \\ \cos \varphi(s) & -\sin \varphi(s) \\ \sin \varphi(s) & \cos \varphi(s) \end{pmatrix}$$

$$\underline{n} = \underline{n}(s)$$

$$\underline{t}(s) = \begin{pmatrix} \cos \varphi(s) \\ \sin \varphi(s) \end{pmatrix} = (\cos \varphi(s)) \underline{i} + \sin \varphi(s) \underline{j}$$

$$\underline{n}(s) = \begin{pmatrix} -\sin \varphi(s) \\ \cos \varphi(s) \end{pmatrix}$$

formula "misto"

$$\underline{t}(s) = e^{i\varphi(s)} \underline{i}$$

= complesso

$$\underline{t}(s) = e^{i\varphi(s)}$$

$$\underline{n}(s) = i e^{i\varphi(s)} \underline{i}$$

$$\underline{n}(s) = (\cos \varphi(s) + i \sin \varphi(s))$$

$$\underline{n}(s) = i e^{i\varphi(s)}$$

i :

$$\int_{-\frac{\pi}{2}}^{\frac{\pi}{2}}$$

rotazione di $\frac{\pi}{2}$ in
senso antiorario

Opposite :

$$\underline{t}(s) = (\cos \varphi(s), \sin \varphi(s)) \\ (= \cos \varphi(s) \underline{i} + \sin \varphi(s) \underline{j})$$

$$\underline{t}' = -\varphi' \cos \varphi \underline{i} + \varphi' \sin \varphi \\ = \varphi' (-\cos \varphi \underline{i} + \sin \varphi \underline{j})$$



$$\sqrt{-1}'$$

Definiamo la curvatura (con segno) di C
(su P , di assecca curvilinea s)

$$\text{consideriamo } \underline{r}'' = \underline{t}' = \frac{d\underline{t}}{ds} \quad \begin{array}{l} (\text{"accelerazione"}) \\ (s = \text{"tempo"}) \\ \text{velocità scalare} \\ \text{unitaria } \|\underline{t}\| = 1 \end{array}$$

Si ha $\langle \underline{t}', \underline{t} \rangle = 0$

$$(\text{infatti da } \langle \underline{t}, \underline{t} \rangle = 1 \text{ e } \langle \underline{t}, \underline{t} \rangle' = 0)$$

$$\text{ossia } \langle \underline{t}', \underline{t} \rangle + \langle \underline{t}, \underline{t}' \rangle = -2\langle \underline{t}', \underline{t} \rangle = 0$$

$$\text{punto } \underline{t}' = R \underline{n} \quad , \quad R \in \mathbb{R}$$

R è detta curvatura (con segno) di C su P .

$$\text{in particolare } |R| = \|\underline{r}''\|$$

Osserviamo ora che da $\underline{t} = e^{is} \underline{i}$, si ha pure

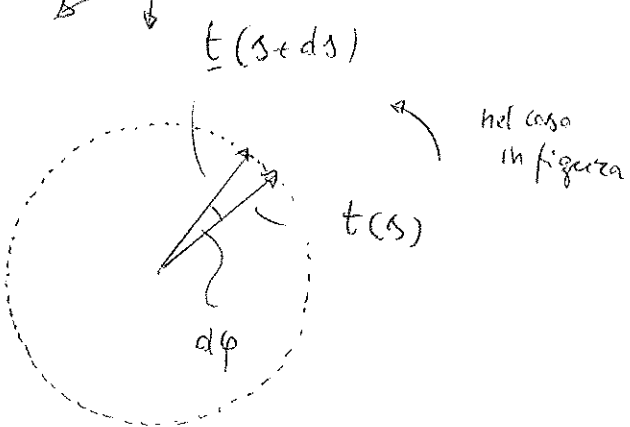
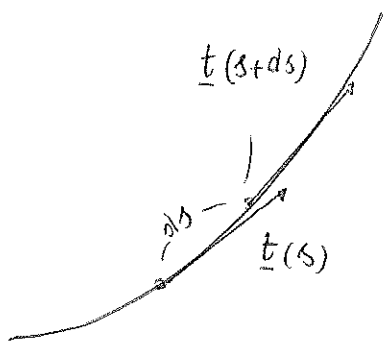
$$\underline{t}' = i g' e^{is} \underline{i} + e^{is} \underline{i}' = g' \underbrace{i}_{\underline{\omega}} \underbrace{e^{is} \underline{i}}_{\underline{n}}$$

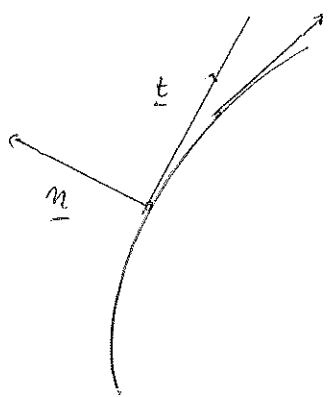
Sicché

$$R = \frac{dg}{ds} \quad (R = \varphi')$$

R : "velocità angolare"
rispetto a s

di chiamare interpretazione geometrica





In questo caso

$R < 0$

Cose particolari importanti:

• rette

$R \equiv 0$

Si ha $t' = 0 \Rightarrow t = t_0$, costante
(su un intervallo)

$$\underline{r}(s) - \underline{r}(0) = \int_0^s t(\xi) d\xi = \int_0^s t_0 d\xi = s t_0$$

ovvero $\underline{r} = \underline{r}(s) = \underline{r}(0) + s t_0 \Rightarrow$ retta

poniamo per $\underline{r}_0 = \underline{r}(0)$ e direzione t_0 (o meglio $\langle t_0 \rangle$)

Diversamente, per una retta è

Saiamo visto che $R \equiv 0$

$$\underline{r}(s) = \underline{a} + s \underline{b} \Rightarrow \underline{t}(s) \equiv \underline{b} \Rightarrow \underline{t}'(s) \equiv 0$$

$\|\underline{b}\|=1$ (s è automaticamente la lunghezza d'arco)

• circonferenze

$R \equiv R_0 > 0$ costante

da

$$q' = R_0 \times \text{senso}$$

$$q(s) = q(0) + R_0 \cdot \frac{s}{R_0} \quad \text{poniamo per semplificare} \\ q(0) = 0$$

$$\Rightarrow \underline{t}(s) = e^{i R_0 s} \underline{i} \quad (= \cos(R_0 s) \underline{i} + \sin(R_0 s) \underline{j})$$

$$\underline{r}(s) = \underline{r}(0) + \int_0^s \underline{t}(\xi) d\xi = \underline{r}(0) + \left(\int_0^s e^{i R_0 \xi} d\xi \right) \underline{i}$$

$$= \underline{r}(0) + \frac{e^{iR_0 s}}{iR_0} \begin{vmatrix} i \\ 0 \end{vmatrix} \underline{i}$$

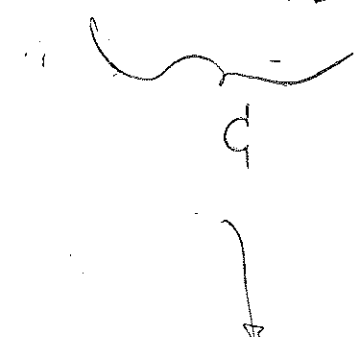
$$\begin{aligned} \frac{1}{i} \underline{i} &= -i \underline{i} \\ &= -\underline{j} \end{aligned}$$

$$= \underline{r}(0) + \frac{e^{iR_0 s} - 1}{iR_0} \begin{vmatrix} i \\ -i \end{vmatrix} \underline{i}$$

$\underline{R}_0 = x_0 \underline{i} + y_0 \underline{j}$

$$\begin{aligned} i(-\underline{j}) &= -i\underline{j} \\ &= \underline{i} \end{aligned}$$

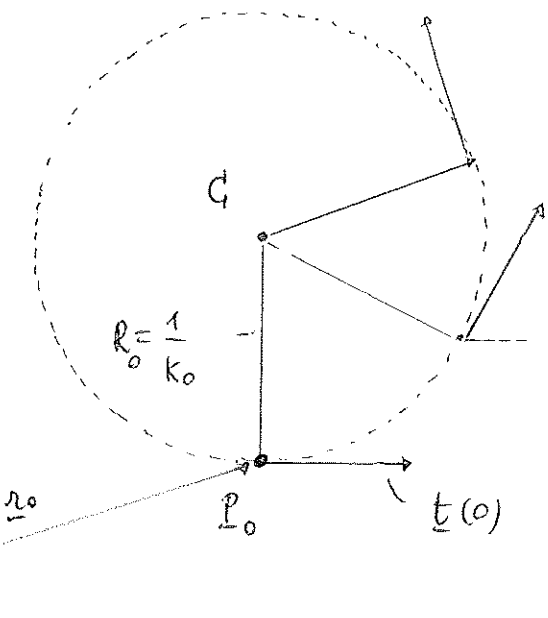
$$= \underline{R}_0 + \frac{1}{R_0} \underline{j} + \frac{1}{R_0} e^{iR_0 s} (-\underline{j})$$



$$s=0$$

$$\underline{t}(0) = \underline{i}$$

1) Messo l'ipotesi
calcoli col
formula di
Vittoriale o
col
formula di
complesso "puro"



con conica
di centro P_0

$$\text{e raggio } R_0 = \frac{1}{k_0}$$

(passante per P_0)

vievista

$$\text{sia } \underline{r} = \underline{r}_0 + R e^{is} \underline{i}$$

$$i = \frac{d}{ds} \quad \underline{r}' = iR e^{is} \underline{i}$$

$$\|\underline{r}'\| = R$$

$$ds = R d\phi$$

$$\text{possiamo } \delta = R\phi$$

$$\text{porre } \underline{r} = \underline{r}(s) = \underline{r}_0 + R e^{is} \underline{i}$$

$$\frac{d\underline{r}}{ds} = R \cdot \frac{i}{R} e^{is} \underline{i} = i e^{is} \underline{i}$$

$$\frac{d\underline{r}}{ds} = i e^{is} \underline{i}$$

$$\frac{d^2 \underline{r}}{ds^2} = (-i) \frac{1}{R} e^{is} \underline{i} = \frac{1}{R} (\underline{i} e^{is} (-i))$$

Analogo discorso per $R_o < 0$ (Cambi in l'orientamento...)

Variante ripartiamo da $\underline{t}' = R_o \underline{n}$ $R_o > 0$

$$\underline{n} = i \underline{t} \Rightarrow \underline{t}' = i R_o \underline{t}$$

$$\Rightarrow \underline{t}(s) = e^{i R_o s} \underline{t}(0) \quad \underline{t}(0) = \underline{t}_0$$

$$\begin{aligned} \underline{R}(s) &= \underline{R}(0) + \int_0^s [e^{i R_o \xi} \underline{t}(0)] d\xi \\ &= \underline{R}(0) + \frac{e^{i R_o s} - 1}{i R_o} \underline{t}(0) = \text{etc...} \end{aligned}$$

ancora una variante

$$\text{poniamo } \underline{t} = \begin{pmatrix} \xi \\ \eta \end{pmatrix} \Rightarrow \underline{n} = \begin{pmatrix} -\eta \\ \xi \end{pmatrix} \quad \xi^2 + \eta^2 = 1$$

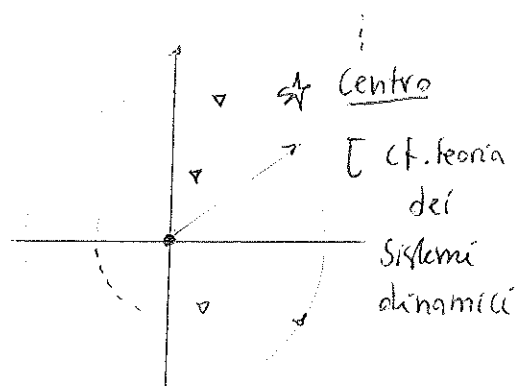
$$\text{Si ha: } \begin{cases} \xi' = -R_o \eta \\ \eta' = +R_o \xi \end{cases} \quad \begin{pmatrix} \xi' \\ \eta' \end{pmatrix} = \begin{pmatrix} 0 & -R_o \\ R_o & 0 \end{pmatrix} \begin{pmatrix} \xi \\ \eta \end{pmatrix}$$

$$\xi'' = -R_o \eta' = -R_o^2 \xi$$

$$\xi'' + R_o^2 \xi = 0 \quad \xrightarrow{\text{oscillatore}} \text{disonomico}$$

R_o vel. angolare

si prosegue...



Cerchio osculatore

sia dato $P \in \gamma$, di attesa curva γ (calcolata a partire da un dato punto m_0)

La circonferenza di raggio $|G(S)| = |k(S)|^{-1}$ ($k \neq 0$)

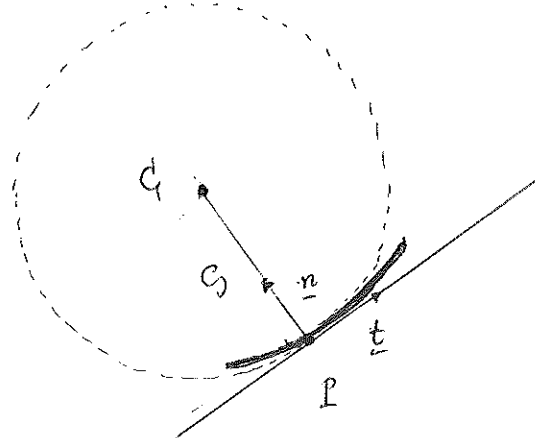
e di centro $C = P + G \underline{n}$, $G = k^{-1}$

è detta circonferenza osculatrice, o cerchio osculatore.

[da osculum = bacio, latino] alla curva γ in P

G è detto centro di curvatura, G raggio di curvatura
[è un uso abuso di linguaggio] (in P)

per $k > 0$



Si noti che in generale
il cerchio osculatore
attraversa la curva

(contatto tripunto)

o $y = x^3$

per

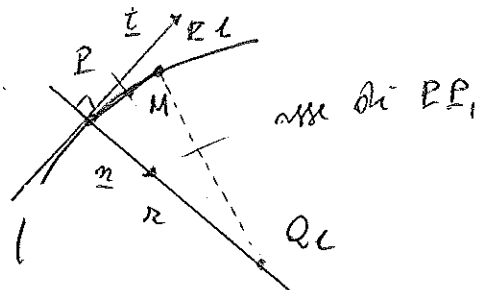
Per una retta $k \equiv 0 \Rightarrow G = \infty$

(il cerchio osculatore può passarvi come la retta stessa)

Per una circonferenza coincide con la circonferenza stessa

* Il ciclo osculatore può vedersi come limite dei cerchi tangenti a C in P e passanti per un altro punto della curva, al tendere di quest'ultimo a P .

(con riferimento alla figura si ha:



$$P - M = \frac{1}{2} (P - P_1)$$

$$Q_1 = P + r \underline{n} \quad \langle Q_1 - M, P_1 - P \rangle = 0$$

$$\text{ma } Q_1 - M = \underbrace{Q_1 - P}_{r \underline{n}} + \underbrace{P - M}_{\frac{1}{2} (P - P_1)} = r \underline{n} - \frac{1}{2} (P_1 - P)$$

$$\Rightarrow \langle r \underline{n}, P_1 - P \rangle = \frac{1}{2} \|P_1 - P\|^2 \quad (*)$$

$$\text{ma } P_1 - P = \Delta s \underline{t} + \frac{\Delta s^2}{2} \underbrace{\frac{\underline{m}}{\underline{s}}}_{\underline{t}'} + o(\Delta s^2) \quad \begin{array}{l} \text{Taylor} \\ (\text{rispetto all'} \\ \text{l'asse} \\ \text{curvilineo}) \end{array}$$

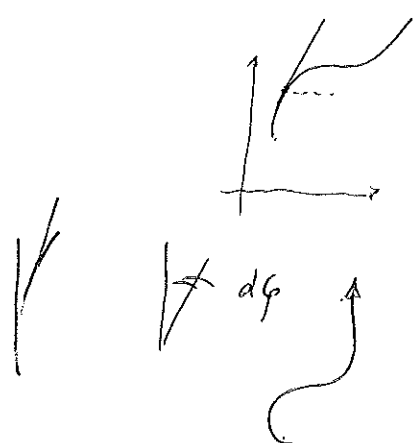
$$\Rightarrow \|P_1 - P\|^2 = \Delta s^2 + \dots$$

$$\Rightarrow (*) \text{ diventa } \frac{r}{s} \frac{\Delta s^2}{2} = \frac{\Delta s^2}{2} + \dots$$

$$\Rightarrow \text{per } \Delta s \rightarrow 0, \quad \frac{r}{s} \rightarrow 1 \quad \square$$

$$\text{Se } y = y(x) \Rightarrow \begin{cases} x = x \\ y = y(x) \end{cases}$$

$$R = \frac{y''}{(1+y'^2)^{3/2}}$$

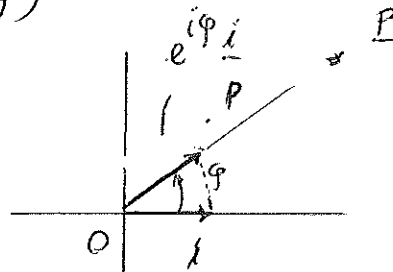


recurve radius on the chordal metric:

$$\begin{aligned} R &= \frac{ds}{d\varphi} = \frac{ds}{dx} \frac{dx}{d\varphi} = \frac{d \arctan y'(x)}{dx} \frac{dx}{d\varphi} = \\ &= \frac{y''(x)}{1+y'(x)^2} \cdot \frac{1}{(1+y'(x)^2)^{1/2}} = \frac{y''}{(1+y'^2)^{3/2}} \end{aligned}$$

In coordinate plane: $P = P(\varphi)$

$$\underline{P} = 0 + P e^{i\varphi} \underline{i}$$



$$\begin{aligned} \overset{\circ}{P} &= \overset{\circ}{P} e^{i\varphi} \underline{i} + i \overset{\circ}{P} e^{i\varphi} \underline{j} \\ &= e^{i\varphi} (\overset{\circ}{P} \underline{i} + \overset{\circ}{P} \underline{j}) \end{aligned}$$

$$\begin{aligned} \overset{\circ}{P} &= i e^{i\varphi} (\overset{\circ}{P} \underline{i} + \overset{\circ}{P} \underline{j}) + e^{i\varphi} (\overset{\circ}{P} \underline{i} + \overset{\circ}{P} \underline{j}) \\ &= e^{i\varphi} [\overset{\circ}{P} \underline{i} - \overset{\circ}{P} \underline{i} + \overset{\circ}{P} \underline{i} + \overset{\circ}{P} \underline{j}] \\ &= e^{i\varphi} [(\overset{\circ}{P} - \overset{\circ}{P}) \underline{i} + 2 \overset{\circ}{P} \underline{j}] \end{aligned}$$

$$|\overset{\circ}{P}|^2 = \overset{\circ}{P}^2 + \overset{\circ}{P}^2 \quad (\text{gai usto...})$$

$$\begin{aligned}
 \langle \dot{\rho}^i, \ddot{\rho}^i \rangle &= \langle e^{i\phi} [\dot{\rho}_j - \rho \dot{i}], \\
 &\quad e^{i\phi} [(\ddot{\rho}^o - \rho)_i + 2\dot{\rho}_j] \rangle \\
 &= -\rho (\ddot{\rho}^o - \rho) + 2\dot{\rho}^o = \\
 &= \rho^2 + 2\dot{\rho}^o - \rho \ddot{\rho}^o \\
 \Rightarrow \frac{1}{g} R &= \frac{\rho^2 + 2\dot{\rho}^o - \rho \ddot{\rho}^o}{(\rho^2 + \dot{\rho}^o)^{3/2}} = \frac{d}{d\phi}
 \end{aligned}$$

flessi generalizzati $\therefore R = 0$



$$\text{Nota: da } R(x) = \frac{y''(x)}{(1+y'^2(x))^{3/2}}$$

vediamo come R sia legata alla convessità di $y = y(x)$.
in particolare, se x_0 è critico ($y'(x_0) = 0$), il
test della derivata seconda si dirà fatto in calcolo di curvatura.

A Formule generali (nel piano)

$$\dot{\underline{r}} = \frac{d}{dt} \underline{r}$$

$$\ddot{\underline{r}} = \frac{d^2}{dt^2} \underline{r}$$

$$\dot{\underline{r}} = \omega \underline{t}$$

$\ddot{\underline{r}}$
velocità
(scalone)

$$\frac{d\underline{x}}{dt} = \frac{dx}{ds} \frac{ds}{dt}$$

$$\frac{d\underline{x}}{dt} = \frac{v}{\omega} = \|\dot{\underline{t}}\|$$

$$\|\dot{\underline{t}}\| = 1$$

$$\ddot{\underline{r}} = \dot{\omega} \underline{t} + \omega \dot{\underline{t}}$$

$$\frac{d\underline{t}}{dt} = \frac{dt}{ds} \frac{ds}{dt}$$

Accelerazione

$$= \dot{\omega} \underline{t} + R \omega^2 \underline{n}$$

$$= \dot{\omega} \underline{t} + \frac{\omega^2}{S} \underline{n}$$

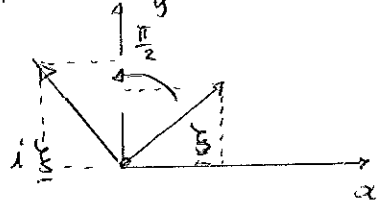
accelerazione
tangenziale

accelerazione
centripeta

$$= v \underline{t}' = v \cdot R \underline{n}$$

$$\dot{i} \ddot{\underline{r}} = v \cdot i \dot{\underline{t}} = v \underline{n}$$

formalismo complesso



$$\langle \dot{i} \ddot{\underline{r}}, \ddot{\underline{r}} \rangle = \frac{v^3}{S}$$

$$\Rightarrow \frac{1}{S} = R = \frac{\langle \dot{i} \ddot{\underline{r}}, \ddot{\underline{r}} \rangle}{|\ddot{\underline{r}}|^3}$$

$$\begin{pmatrix} -\dot{y} \\ \dot{x} \end{pmatrix}$$

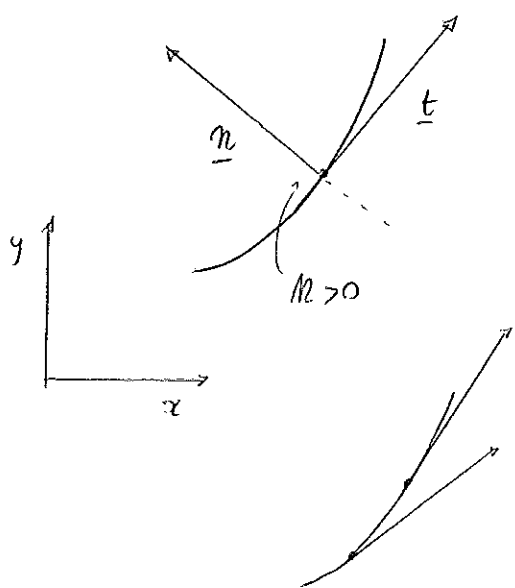
$$\sim \begin{pmatrix} \dot{x} \\ \dot{y} \end{pmatrix}$$

$$\|\ddot{\underline{r}}\| = \sqrt{\dot{x}^2 + \dot{y}^2}$$

$$\begin{pmatrix} -\xi_2 \\ \xi_1 \end{pmatrix} = \begin{pmatrix} 0 & -1 \\ 1 & 0 \end{pmatrix} \begin{pmatrix} \xi_1 \\ \xi_2 \end{pmatrix}$$

$$R = \frac{1}{S} = \frac{\dot{x} \ddot{y} - \ddot{x} \dot{y}}{(\dot{x}^2 + \dot{y}^2)^{3/2}} = \frac{\begin{vmatrix} \dot{x} & \dot{y} \\ \ddot{x} & \ddot{y} \end{vmatrix}}{(\dot{x}^2 + \dot{y}^2)^{3/2}}$$

→ Ricognizione di una curva piana a partire dalla sua curvatura (con segno) (parametro: s) a meno di un movimento rigido

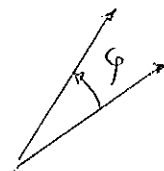


$$(*) \quad \underline{t}' = R \underline{n} \quad (\underline{t}, \underline{n})$$

e orientata
con

$$R = \frac{d\phi}{ds} (= \varphi') \quad (\underline{i}, \underline{j})$$

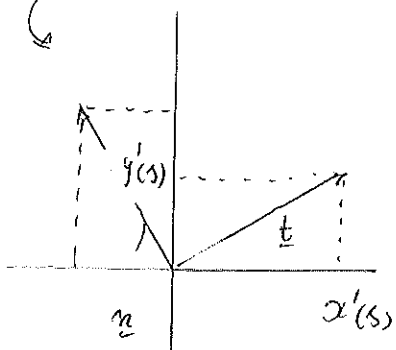
→ teorema fondamentale
per le curve
piiane



$$\& \quad \underline{t} = (x', y') \quad , \quad x'^2 + y'^2 = 1, \quad i$$

$$\underline{m} = (-y', x')$$

(*) diviene [disponendo le componenti dei vettori in colonna...]



$$\begin{pmatrix} x'' \\ y'' \end{pmatrix} = \begin{pmatrix} 0 & -R \\ R & 0 \end{pmatrix} \begin{pmatrix} x' \\ y' \end{pmatrix}$$

$$\underline{t}' = R \underline{m}$$

posto $\begin{pmatrix} x' \\ y' \end{pmatrix} = \underline{t}$ $\begin{cases} x' = -R \gamma \\ y' = R \xi \end{cases}$

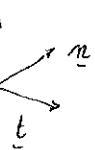
$$\begin{pmatrix} \xi \\ \eta \end{pmatrix}$$

$$\begin{pmatrix} \xi' \\ \eta' \end{pmatrix} = \begin{pmatrix} 0 & -R \\ R & 0 \end{pmatrix} \begin{pmatrix} \xi \\ \eta \end{pmatrix}$$

→ velocità angolare

f. azione III
e.v. molte altre,
formule di Frenet

$$\underline{\omega} = \begin{pmatrix} 0 \\ 0 \\ R \end{pmatrix} \quad \underline{\omega} = R \underline{R}$$



$$\text{Ora: } \underline{t} = (\cos \varphi(s), \sin \varphi(s)) \quad (= e^{i\varphi(s)})$$

$$\underline{\alpha}(s) = \underline{\alpha}(s_0) + \int_{s_0}^s \underline{t}(u) du ; \text{ ma da } \varphi' = 12^\circ$$

$$\varphi(s) = \varphi_0 + \int_{s_0}^s R(u) du$$

poniamo, per semplicità, $\varphi_0 = 0$, $\underline{\alpha}(s_0) = \underline{o}$, $s_0 = 0$

Tutto si può ottenere tramite un movimento rigido

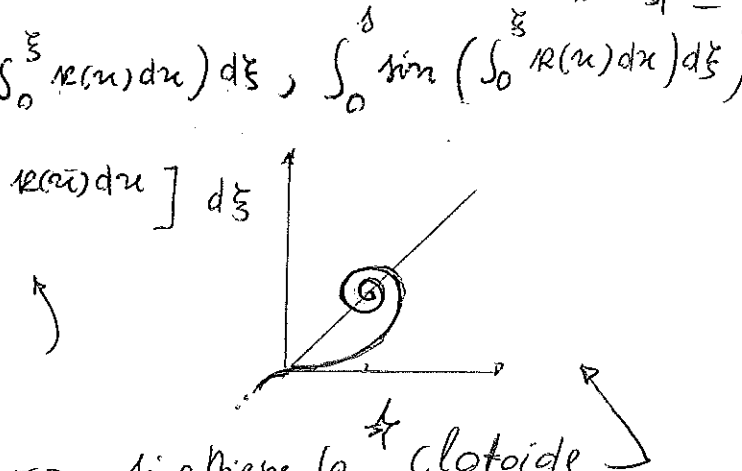
$$\underline{\alpha}(s) = \int_0^s \underline{t}(u) du$$

$$\varphi(s) = \int_0^s R(u) du$$

$$\begin{aligned} \underline{x}(s) &= \left(\int_0^s \cos \left(\int_0^s R(u) du \right) d\xi, \int_0^s \sin \left(\int_0^s R(u) du \right) d\xi \right) \\ &\equiv \int_0^s \left[e^{i \int_0^s R(u) du} \right] d\xi \end{aligned}$$

Formalismo complesso

Quindi, la curva si ricava dalla curva di una linea retta a meno di un movimento rigido in modo esplicito



Esempio: $R(s) = s \Rightarrow$ si ottiene la clotoide

$$(\text{spirale di corna}) \quad \varphi(s) = \int_0^s u du = \frac{s^2}{2}$$

$$\underline{\alpha}(s) = \left(\int_0^s \cos \frac{s^2}{2} d\xi, \int_0^s \sin \frac{s^2}{2} d\xi \right) \equiv \int_0^s e^{i \frac{s^2}{2}} d\xi$$

$$\text{tra } \alpha(s) = \int_0^{+\infty} e^{i \frac{s^2}{2}} d\xi$$

risulta finito (integrale di Fresnel)

Si noti che i due integrali non convergono assolutamente

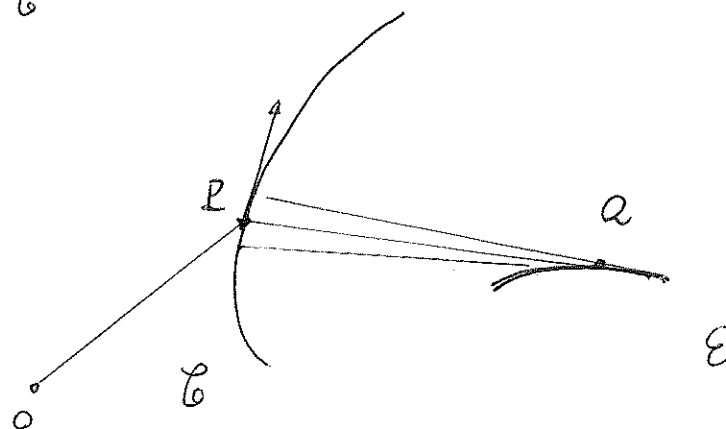
$$\int_0^{+\infty} \cos(t^2) dt = \sqrt{\frac{\pi}{8}}$$

while nella progettazione di raccordi stradali, in ottica. (teoria della difrazione)

si dimostra tramite l'analisi complessa

\star Evoluta di una curva: luogo dei centri di curvatura (centri dei circhi osculatori nei vari punti della curva)

\mathcal{E} evoluta di \mathcal{C}



\mathcal{E} evolvente
di \mathcal{C}

Impreghiamo la notazione "classe": $P = P(t) \equiv \overrightarrow{QP}$ etc.

$$\circ = \frac{d}{dt} \quad / = \frac{d}{ds}$$

$$Q = P + S \underline{n}$$

\parallel
 R^{-1}

raggio del cerchio osculatore in P
(\equiv raggio di curvatura)

$$(\underline{P} = \underline{x} + S \underline{n}) \quad R \neq 0$$

lunghezza
d'arco

$$\begin{aligned} \langle \underline{m}, \underline{t} \rangle &\equiv 0 \quad \langle \underline{m}', \underline{t} \rangle + \langle \underline{m}, \underline{t}' \rangle = 0 \\ \langle \underline{m}', \underline{t} \rangle &= -R \\ \text{ma } \underline{m}' &\parallel \underline{t} \\ \text{perché } \langle \underline{m}', \underline{m} \rangle &= 0 \\ \Rightarrow \underline{m}' &= -R \underline{t} \end{aligned}$$

$$\begin{aligned} \underline{Q}' &= \frac{d\underline{Q}}{ds} = \underline{P}' + S' \underline{n} + \underline{S} \underline{n}' \\ &= \underline{t} + -\frac{R'}{R^2} \underline{n} - S \underbrace{\underline{n} \times \underline{t}}_{\perp} = -\frac{R'}{R^2} \underline{n} \\ &\quad (= \underline{S}' \underline{n}) \end{aligned}$$

In definitiva

(*) $\underline{Q}' = \underline{S}' \underline{n}$: la normale in P è tangente ad \mathcal{E} nel punto corrispondente a \underline{n}

$$d\tilde{s} = |\underline{S}'| ds$$

ℓ , d'arco su \mathcal{E}

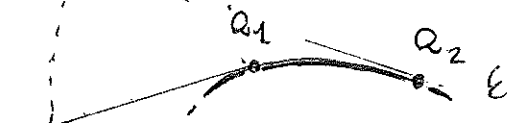
poniamo, per fissare le idee

$$R' < 0 \quad (\rho' > 0)$$

$$d\hat{s} = \frac{dS}{ds} ds$$

$$\Rightarrow \boxed{l(Q_1, Q_2) = S_2 - S_1} \quad * \quad (\text{di immediata interpretazione...})$$

P_1 P_2 arco di evoluta

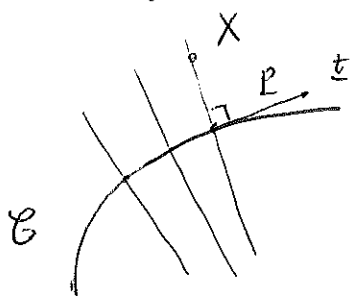


P_1 , P_2 delle normali di \mathcal{C} (\star)

E è anche l'inviluppo

Cioè è chiaro dalla discussione precedente, ma è istruivo verificarlo secondo i de Rham della teoria degli inviluppi.
Proviamo la

* famiglia delle normali a \mathcal{C}



Incaso:



famiglia di: $F(x, y, c) = 0$
curve

* inviluppo: curva tangente (Cayley) in ogni pto ad un membro della famiglia

$$(*) \langle X - P, t \rangle = 0$$

parametro: $s \quad F(x, y, s) = 0$

$$\frac{\partial F}{\partial s} = 0 \Rightarrow \frac{\partial}{\partial s} \langle X - P, t \rangle = 0$$

$$-1 \quad \rightarrow$$

$$\underbrace{\langle -P', t' \rangle}_{-t} + \underbrace{\langle X - P, t' \rangle}_{\text{"nn}} = 0$$

$$\Rightarrow \langle X - P, n \rangle = \frac{1}{|n|}$$

(**)

(altrimenti (Dini), ho una famiglia di curve di livello
↓ si moltiplica per $c = f(x, y)$)

↓ si moltiplica per $c = f(x, y)$

c - discriminante $\begin{cases} F = 0 \\ \frac{\partial F}{\partial c} = 0 \end{cases}$

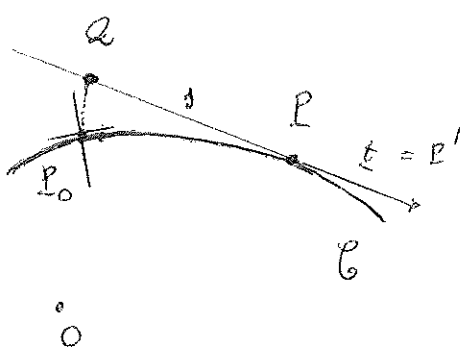
in ogni pto va imposto $\nabla F \neq 0$
per evitare

↑: luogo di pti singolari;

(*) e (**) per gono

$$X - P = \frac{1}{R} \underline{n} = \underline{g} \underline{n} \quad c.v.d.$$

* equazione dell'evolvente γ di una curva \mathcal{C} (a partire da $P_0 \in \mathcal{C}$)



$$\ell = \frac{d}{ds}$$

"s=0"

$$\begin{aligned} Q &= P + (\ell - R) \\ &= P - s t \\ &= P - s P' \end{aligned}$$

$$\begin{aligned} Q' &= P' - P' - s P'' \\ &= -s P'' = -s \cdot k \frac{i P'}{n} \end{aligned}$$

Esempio: l'evolvente
del cerchio

a partire da $P_0 = (1, 0)$

$$\begin{cases} x = \cos \varphi \\ y = \sin \varphi \end{cases}$$

$$t: s = \varphi$$

[Q' è $\parallel \underline{n}$, come
è giusto che sia; inoltre

$$\begin{aligned} i Q' &= -s \cdot k \circ i \underline{n} \\ &= +s R t \end{aligned}$$

$$\begin{aligned} Q &= P - s P' \\ &= e^{i\varphi} - \varphi i e^{i\varphi} \end{aligned}$$

formalismo complesso

$$= e^{i\varphi} (1 - i\varphi) =$$

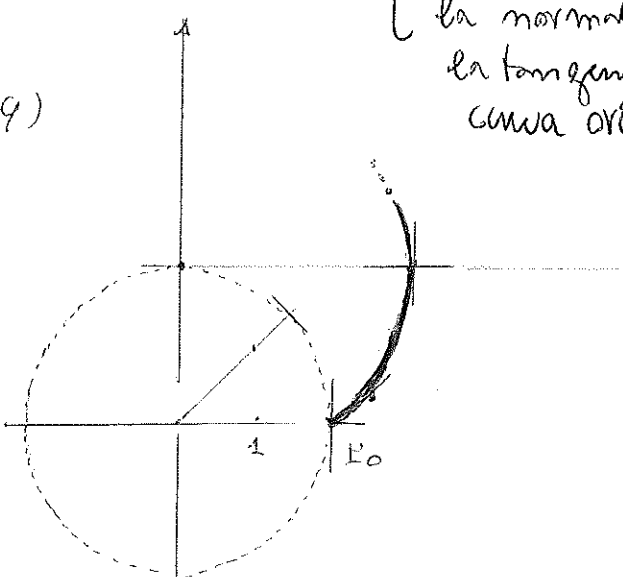
$$= (\cos \varphi + i \sin \varphi) (1 - i\varphi)$$

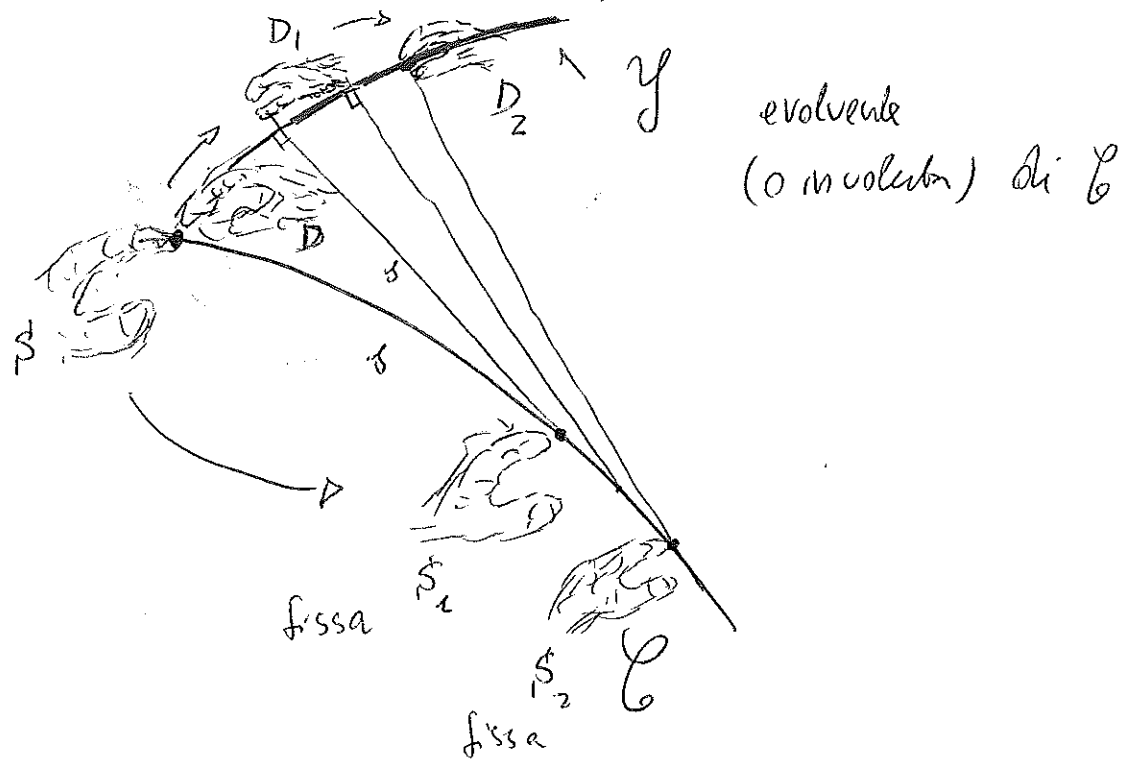
$$= (\underbrace{\cos \varphi + \varphi \sin \varphi}_{x} +$$

$$i(\underbrace{\sin \varphi - \varphi \cos \varphi}_{y})$$

$$\begin{cases} x = \cos \varphi + \varphi \sin \varphi \\ y = \sin \varphi - \varphi \cos \varphi \end{cases}$$

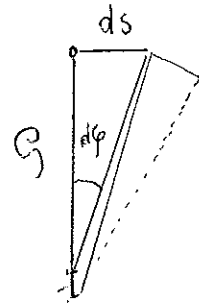
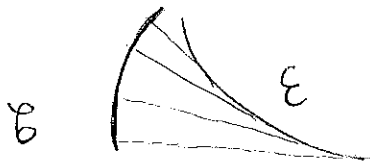
[la normale all'evolvente è la tangente in P alla curva originaria]





V-15'

Commento: Si considerare l'evoluta di \mathbf{E}

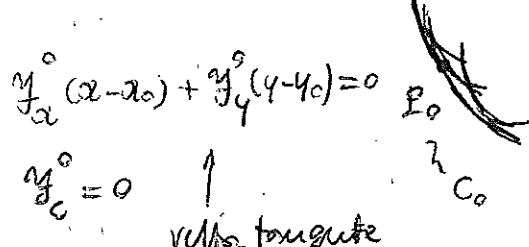


$$G = \frac{1}{R}$$

$$R \cdot ds = R \cdot G \cdot d\phi \\ = d\tilde{s}$$

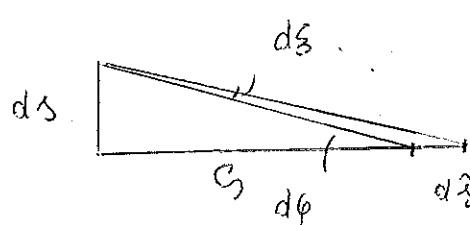
segue da pag. V-14

$$\gamma(x, y, c) = 0$$



comune a $\gamma(x, y, c_0) = 0$ e
all'uniluppo

$d\tilde{s}$



$d\tilde{s}$: infinitesima

di ordine super.
a $d\tilde{s}$

(dello stesso ordine

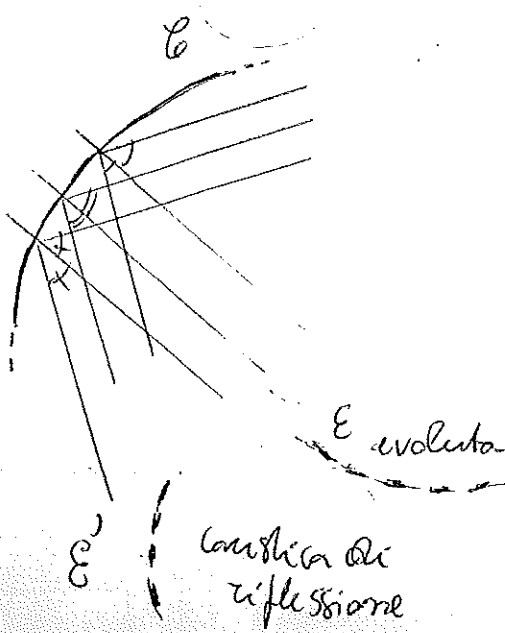
di ds e

$\alpha \neq 0 \dots$

$$\frac{d\tilde{s}}{ds} = \frac{\sin(\pi - d\phi)}{\sqrt{c^2 + d\tilde{s}^2}} = \frac{\sin d\phi}{\sqrt{c^2 + d\tilde{s}^2}} \sim 0$$

* Ancora sulle uniluppi: carica di riflessione (e rifrazione)

(ex: arcobaleno... si ottengono da un'evoluta con un
movimento rigido...)

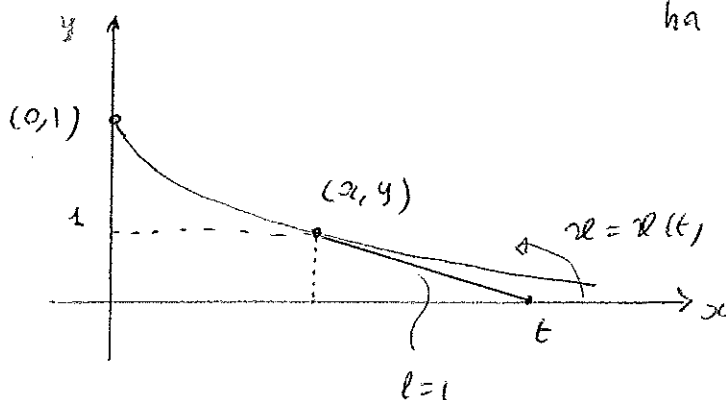


* Principio di Rayons

ogni punto di un fronte d'onda
dirige a sua volta sorgente
di onde strette; l'uniluppo
di queste in un istante
successivo dà il nuovo
fronte d'onda...

◊ In traiettoria

"curva dei forzati"



proprietà caratteristica:

il segmento di tangente
compriso tra la curva e l'asse x
ha lunghezza costante ($=1$)

→ fondamentale
per il seguito...

$$x = x(t) = t + \cos \varphi(t) \quad t \geq 0$$

$$y = y(t) = \sin \varphi(t)$$

$$\begin{cases} \dot{x} = 1 - \sin \varphi \\ \dot{y} = \cos \varphi \end{cases}$$

Si ha subito

$$\tan \varphi(t) = \frac{\dot{y}(t)}{\dot{x}(t)} = \frac{\cos \varphi}{1 - \sin \varphi}$$

e, successivamente

$$\tan \varphi (1 - \sin \varphi) - \cos \varphi = 0$$

$$\tan \varphi = (\tan \varphi \sin \varphi + \cos \varphi) \varphi \quad \cos \varphi \neq 0,$$

$$\frac{\sin \varphi}{\cos \varphi} = \left(\frac{\sin^2 \varphi}{\cos \varphi} + \cos \varphi \right) \varphi$$

$$\boxed{\sin \varphi = \varphi = \frac{d \varphi}{dt}}$$

$$\int \frac{d\varphi}{\sin \varphi} = t$$

periamo $\xi = \tan \frac{\varphi}{2}$ $\frac{\varphi}{2} = \arctan \xi$

$$\sin \varphi = \frac{2\xi}{1+\xi^2}$$

$$\varphi = 2 \arctan \xi$$

$$d\varphi = 2 \frac{1}{1+\xi^2} d\xi$$

$$\int \frac{d\varphi}{\sin \varphi} = \int \frac{2}{1+\xi^2} \cdot \frac{1+\xi^2}{2\xi} d\xi = \int \frac{d\xi}{\xi} = \log |\xi| + C$$

$$t = \log \underbrace{\tan \frac{\varphi}{2}}_v + C$$

$$t=0 \Rightarrow \varphi = \frac{\pi}{2}$$

$$\Rightarrow \frac{\varphi}{2} = \frac{\pi}{4}$$

$$\Rightarrow \log \tan \frac{\pi}{4} = 0$$

$$\Rightarrow C = 0$$

$$\underline{x} = \underline{x}(\varphi)$$

$$\underline{r} = \underline{r}(\varphi)$$

$$\begin{cases} x = x(\varphi) = \log \tan \frac{\varphi}{2} + \cos \varphi \\ y = y(\varphi) = \sin \varphi \end{cases}$$

$$\frac{\pi}{2} \leq \varphi < \pi$$

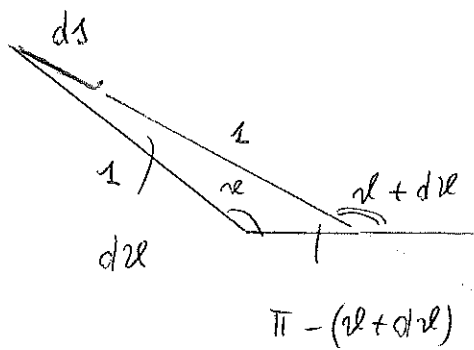
oppure: $e^t = \tan \frac{\varphi}{2}$

$$\sin \varphi = \overbrace{2 \sin \frac{\varphi}{2} \cos \frac{\varphi}{2}}^2 = 2 \frac{e^t}{1+e^{2t}} = \frac{2}{e^t+e^{-t}} = \operatorname{sech} t$$

$$\cos \varphi = \frac{1 - \tan^2 \frac{\varphi}{2}}{1 + \tan^2 \frac{\varphi}{2}} = \frac{1 - e^{2t}}{1 + e^{2t}} = \frac{e^{-t} - e^t}{e^{-t} + e^t} = -\operatorname{tanh} t$$

$$\Rightarrow \begin{cases} \underline{x}(t) = t - \operatorname{tanh} t \\ \underline{y}(t) = -\operatorname{sech} t \end{cases}$$

(calcoliamo la curvatura della traiettoria : il calcolo è standard ... tuttavia procediamo nel modo seguente ; "all'antica" consideriamo la figura seguente (cf. la proprietà caratteristica della traiettoria)



Applichiamo il teorema dei seni al "triangolo infinitesimo"

$$\frac{1}{\sin(\pi - (\pi + d\ell))} = \frac{1 + ds}{\sin v}$$

$$\Rightarrow ds = \frac{\sin v}{\sin(\pi + d\ell)} - 1 = \frac{\sin v - \sin(\pi + d\ell)}{\sin(\pi + d\ell)}$$

$$\sim \frac{-\cos v d\ell}{\sin v} = -\cotan v d\ell$$

[* integrando
otteniamo
una espressione
per la
lunghezza dell'arco]

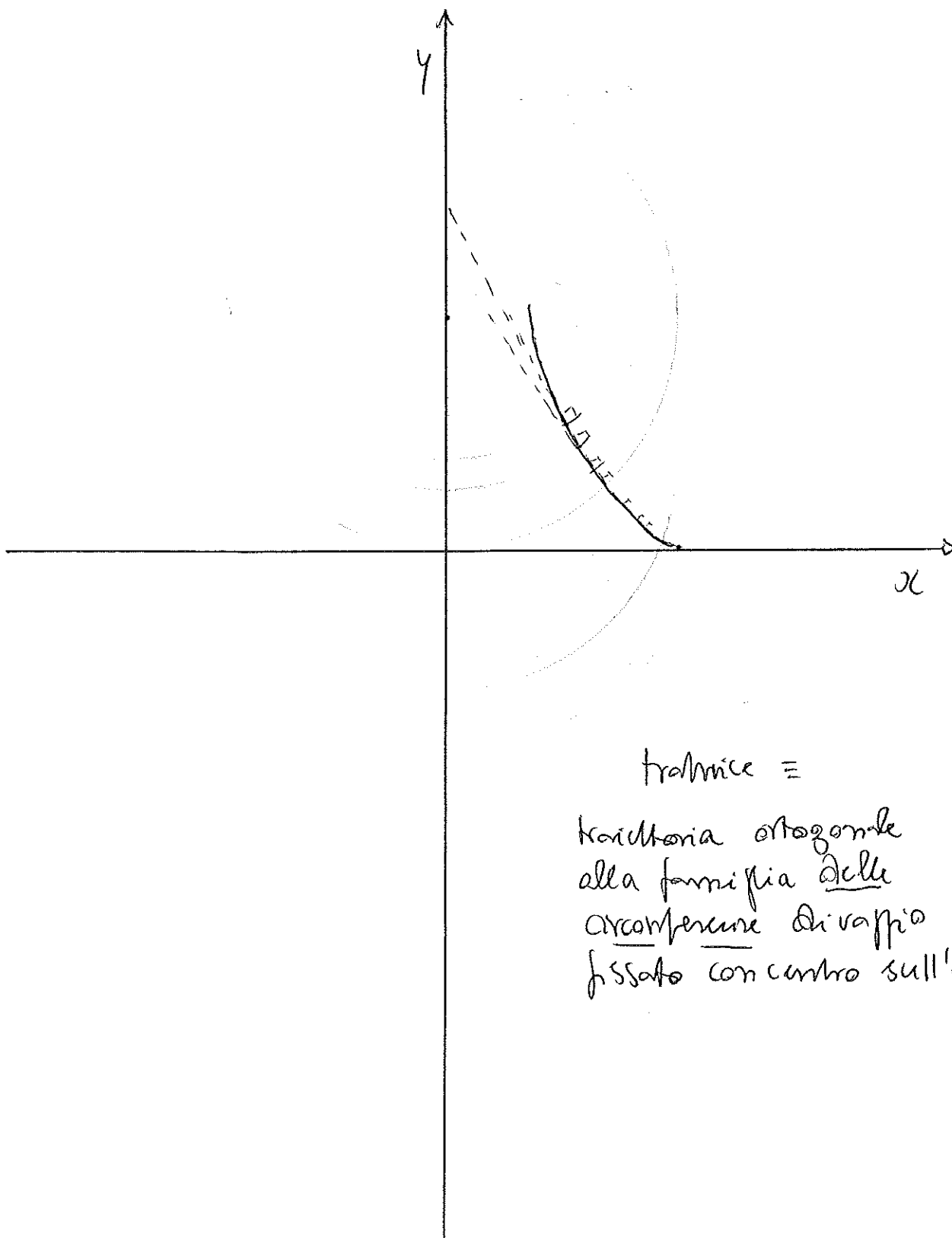
$$\Rightarrow R = \frac{dv}{ds} = -\tan v$$

$$-\int \frac{1}{\tan v} dv = -\log |\sin v|$$

$$(\sin v = t \dots)$$

+ C

$R = -\tan v$

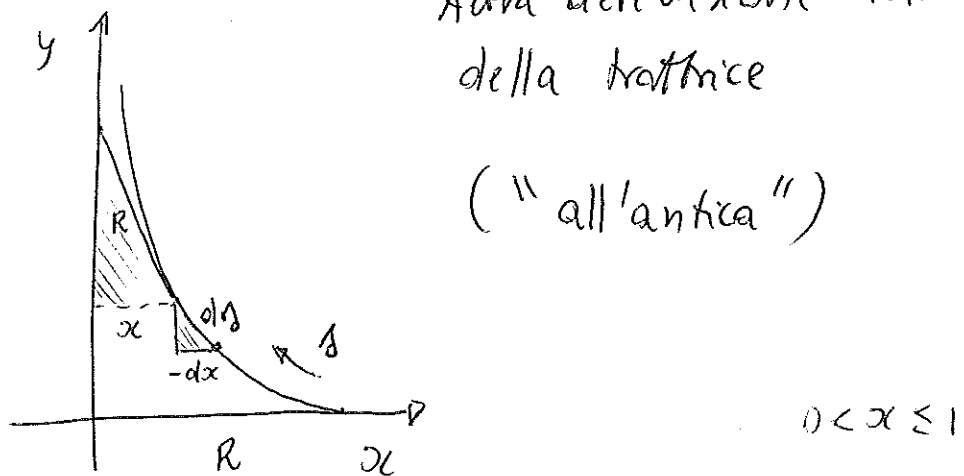


traiettoria =

traiettoria ortogonale
alla famiglia delle
circosfera di raggio
fissato con centro sull'asse y

Altra derivazione dell'eq.
della traiettoria

("all'antica")



$$\frac{dx}{dy} = -\frac{x}{R}$$

$$\frac{dx}{x} = -\frac{ds}{R}$$

$$\log \underbrace{|x|}_{\substack{\approx \\ x}} = -\frac{ds}{R} + c$$

$$x = C e^{-\frac{s}{R}}$$

$$x \quad s=0 \quad \rightarrow \quad x=R \Rightarrow C=R$$

$$x = R e^{-\frac{s}{R}} \quad s = \text{l. d'arco}$$

$$\text{Poniamo} \quad R=1$$

$$x = e^{-s} \quad s = -\log x$$

l'eq. per y è più complicata:

V-19"

Diricuamola così:

$$dx = -e^{-s} ds$$

$$ds^2 = e^{-2s} ds^2 = e^{-2s} (dx^2 + dy^2)$$

$$e^{2s} dx^2 = dx^2 + dy^2$$

$$\begin{aligned} dy^2 &= (e^{2s} - 1) dx^2 = (e^{2s} - 1) e^{-2s} ds^2 \\ &= (1 - e^{-2s}) ds^2 \end{aligned}$$

$$dy = \sqrt{1 - e^{-2s}} ds$$

$$y = \int \sqrt{1 - e^{-2s}} ds$$

poniamo $\sqrt{1 - e^{-2s}} = \xi$

$$1 - e^{-2s} = \xi^2$$

$$e^{-2s} = 1 - \xi^2$$

$$-2s = \log(1 - \xi^2)$$

$$s = -\frac{1}{2} \cdot \log(1 - \xi^2)$$

$$ds = -\frac{1}{2} \cdot \frac{1}{1 - \xi^2} (-2\xi) d\xi$$

$$= \frac{\xi}{1 - \xi^2} d\xi$$

$$\begin{aligned}
y &= \int \frac{\xi^2}{1-\xi^2} d\xi = \int \frac{\xi^2 - 1 + 1}{1-\xi^2} d\xi = \\
&= -\xi + \int \frac{1}{1-\xi^2} d\xi \\
&= -\xi + \frac{1}{2} \int \left(\frac{1}{1-\xi} + \frac{1}{1+\xi} \right) d\xi \\
&= -\xi + \frac{1}{2} \left(\log \frac{1}{1-\xi} + \log(\xi+1) \right) + C \\
&= -\xi + \log \sqrt{\frac{\xi+1}{1-\xi}} + C \\
&= -\sqrt{1-e^{-2s}} + \frac{1}{2} \log \left(\frac{1+\sqrt{1-e^{-2s}}}{1-\sqrt{1-e^{-2s}}} \right) + C
\end{aligned}$$

$$\text{Se } s=0 \rightarrow \xi=0, 0=y=C \Rightarrow C=0$$

$$\begin{cases} x = e^{-s} \\ y = -\sqrt{1-e^{-2s}} + \frac{1}{2} \log \left(\frac{1+\sqrt{1-e^{-2s}}}{1-\sqrt{1-e^{-2s}}} \right) \quad s > 0 \end{cases}$$

Si ha anche

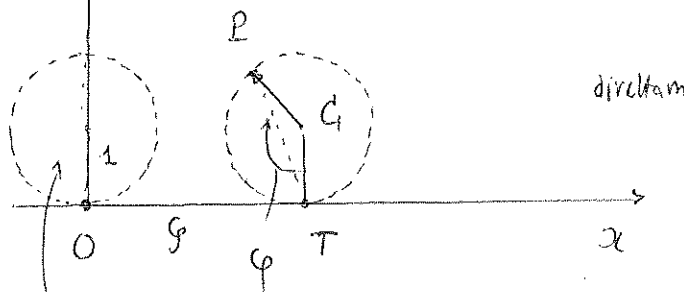
$$y = y(x) = -\sqrt{1-x^2} + \frac{1}{2} \log \left(\frac{1+\sqrt{1-x^2}}{1-\sqrt{1-x^2}} \right)$$

$$0 < x \leq 1$$

4 L'evolto di una clioide è una cicloide
(c. Huygens, "Horologium oscillatorium")

$$P = P - O = (P - C) + (C - T) + (T - O) = \sqrt{}$$

$$(OP = OT + CT + CP) \Rightarrow \underbrace{\varphi i + j}_{= e^{-i\varphi} j}$$



direttamente

$$\left\{ \begin{array}{l} x = \varphi - \sin \varphi \\ y = 1 - \cos \varphi \end{array} \right.$$

$$\varphi \in \mathbb{R}$$

attenzione...

$$\varphi i + j (1 - e^{-i\varphi})$$

rullota \bullet qui $I = \frac{d}{d\varphi}$
(roulotte)

formalismo

$$\text{"moto":}$$

$$i \underline{v} :$$

$$\begin{aligned} &= \varphi i + \\ &\quad j (1 - \cos \varphi) - \\ &\quad - i \sin(-\varphi) \end{aligned}$$

5 Centro
di
curvatura

$$P + \frac{\|P'\|^2}{\langle iP', P'' \rangle} \cdot iP'$$



$$P = (\varphi - \sin \varphi) i + (1 - \cos \varphi) j$$

$$P' = (1 - \cos \varphi) i + \sin \varphi j$$

$$(\varphi - \sin \varphi) i +$$

$$iP' = (1 - \cos \varphi) \underbrace{i i}_{j} + \sin \varphi \underbrace{i j}_{-i}$$

$$(1 - \cos \varphi) j$$

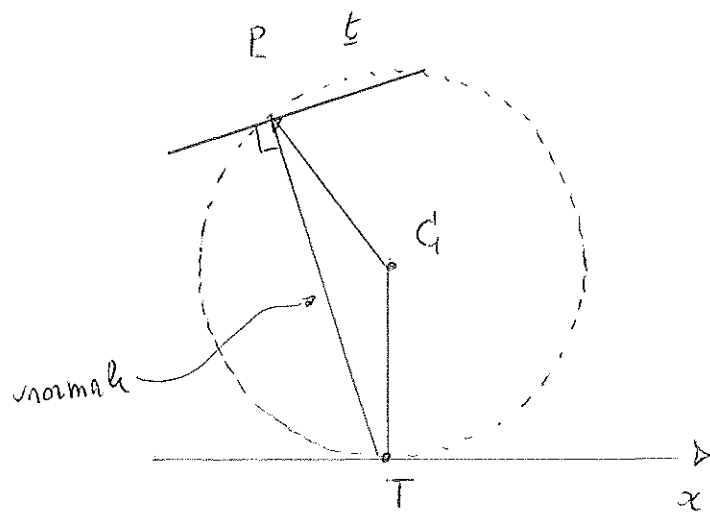
$$= - \sin \varphi i + (1 - \cos \varphi) j$$

$$= P - T$$

$$(\text{infatti } P - T = (\varphi - \sin \varphi) i + (1 - \cos \varphi) j - \varphi i)$$

Si ricordi anche che due vettori $\underline{z} = x_1 + iy_1$, $\underline{w} = x_2 + iy_2$ hanno prodotto scalare

$$\begin{aligned} &= (x_1 - y_1)(x_2 + iy_2) \\ &= (x_1 x_2 + y_1 y_2) + i(x_1 y_2 - x_2 y_1) \end{aligned}$$



Proseguiamo:

$$\begin{aligned}\|P'\|^2 &= (1 - \cos\varphi)^2 + \sin^2\varphi \\ &= 2 - 2\cos\varphi = 2(1 - \cos\varphi)\end{aligned}$$

$$P'' = \sin\varphi \underline{i} + \cos\varphi \underline{j}$$

$$iP' = -\sin\varphi \underline{i} + (1 - \cos\varphi) \underline{j}$$

$$\langle iP', P'' \rangle = -\sin^2\varphi + \cos\varphi(1 - \cos\varphi) = \cos\varphi - 1$$

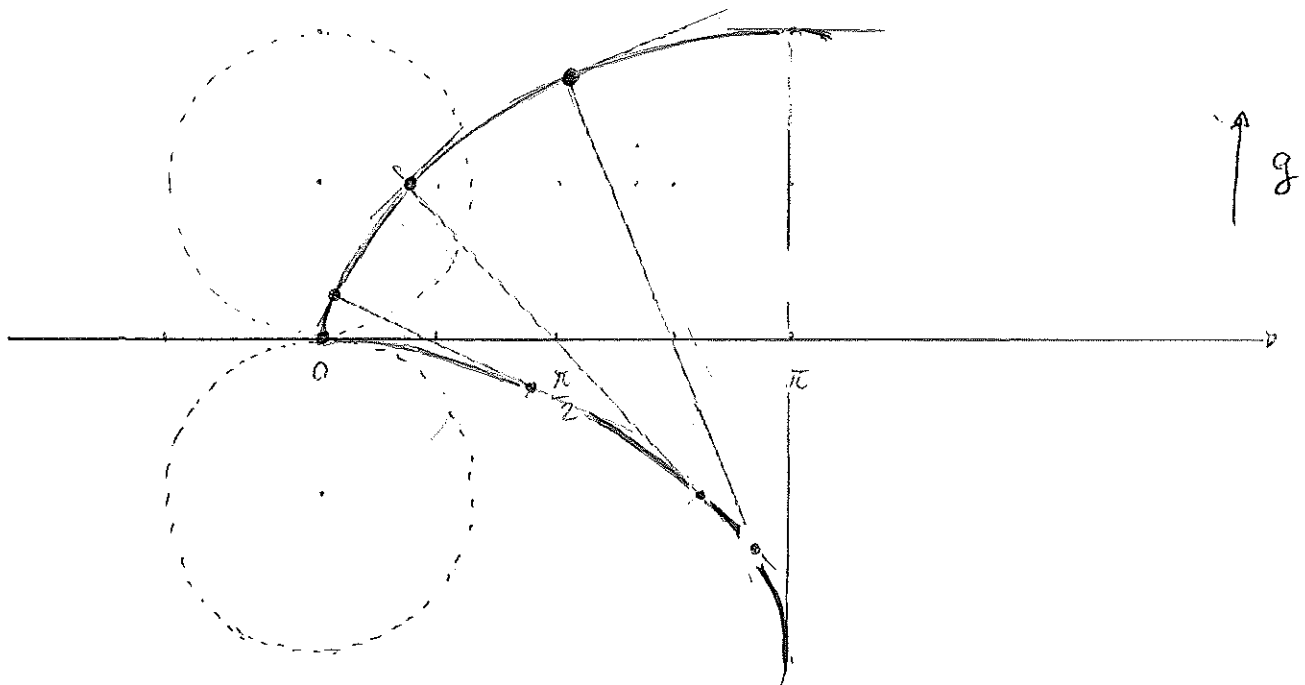
$$\Rightarrow Q = P + 2(T - P) \quad \left[\begin{array}{l} \text{il doppio della} \\ \text{lungastra della} \\ \text{normale} \end{array} \right]$$

$$Q = (\varphi - \sin\varphi) \underline{i} + (1 - \cos\varphi) \underline{j} + 2(\sin\varphi \underline{i} + (\cos\varphi - 1) \underline{j})$$

$$= (\varphi + \sin\varphi) \underline{i} - (1 - \cos\varphi) \underline{j}$$

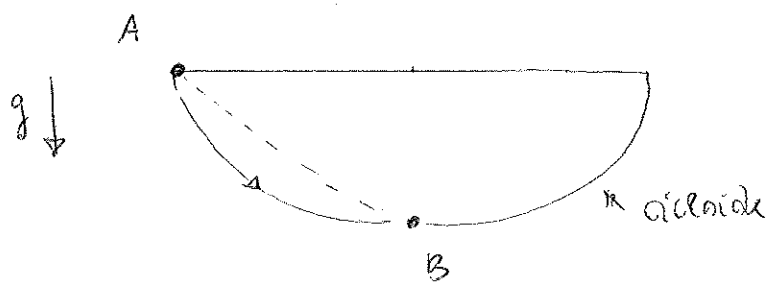
che è ancora una circoida (v. figura)
congruente alla data.

Le proprietà evidenziate agenziano il tracciamento
della curva \rightarrow



* Così funziona il pendolo cicloidale (si rovesci la figura.)

[le oscillazioni sono isocrone]. Per questo
la cicloidale è detta tontocrona, ed è anche
brachistocrona: una pallina pesante
impiega il minor tempo per andare da A a B
lungo una cicloide



L'equazione differenziale della cicloide

$$\begin{cases} x = t - \sin t \\ y = 1 - \cos t \end{cases} \quad t \in \mathbb{R}$$

$$dx = (\underbrace{1 - \cos t}_y) dt \quad y \geq 0$$

$$dy = \sin t dt$$

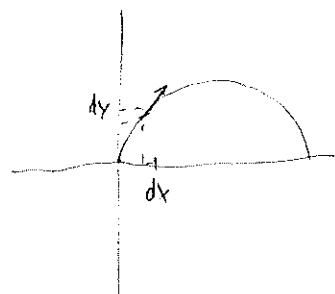
da $\sin^2 t + \cos^2 t = 1$ si ha, successivamente,

$$\sin^2 t = 1 - \cos^2 t = (1 - \cos t)(1 + \cos t)$$

e $(1 - \cos t) + (1 + \cos t) = 2$

$$\Rightarrow \sin^2 t = y(2-y)$$

$$\sin t = \pm \sqrt{y(2-y)}$$



$$\frac{dy}{dx} = \frac{\sin t}{1 - \cos t} = \pm \sqrt{\frac{y(2-y)}{y^2}} = \pm \sqrt{\frac{2-y}{y}}$$

$y \neq 0$

$$dx = dy \sqrt{\frac{y}{2-y}}$$

(Sceglimo +)

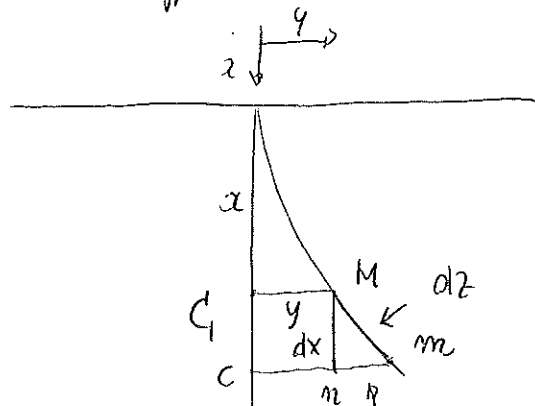
* La brachistocrona ⁽⁺⁾

(cf. E. Gunthi Piccola storia
del calcolo infinitesimale
dall'antichità al novecento)

la Soluzione di Johann Bernoulli

* Princípio di Fermat

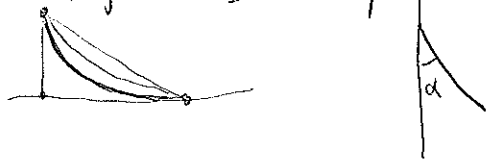
* Legge dei semi (Snell-Cartesio)



(+)

βράχυτρος : il più breve

Xρόνος : tempo



$$\text{tg} \alpha = \frac{dy}{dx} = \frac{1}{a} \cdot v \quad \begin{matrix} \text{cost. di prop-} \\ \downarrow \\ \text{velocità della luce nel mezzo} \end{matrix}$$

$$a dy = v dz$$

$$\begin{aligned} a^2 dy^2 &= v^2 dz^2 = \\ &= v^2 (dx^2 + dy^2) \end{aligned}$$

* m

$$v^2 = ax \Rightarrow (a^2 - v^2) dy^2 = v^2 dx^2$$

l' velocità acquisita

$v = \sqrt{2gx}$ da una grane in caduta

libera ($\dot{x}(0) = 0$)

$$d(a-x) dy^2 = dx \cdot dx^2$$

$$a = 2g$$

$$\Rightarrow dy = dx \sqrt{\frac{x}{a-x}}$$

che è l'equaz. diff. della cicloide!

⇒ L'evolente (o moluta) di una catenaria è una catfrice

* Catenaria: \mathcal{C} $y = \cosh \alpha x = \frac{e^x + e^{-x}}{2}$

curva lungo

la quale si

dispone un

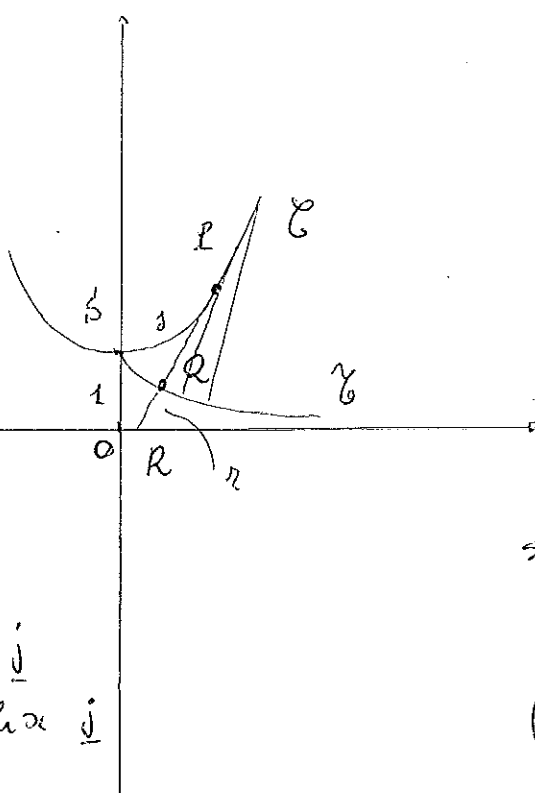
filo teso pesante

per x piccoli è

$$y = 1 + \frac{\alpha x^2}{2} + \dots$$

e si può approssimare

con un arco di parabola (cf. Galileo)



$$y' = \sinh x$$

* Importante anche per gli sviluppi successivi (i pseudosfera di Beltrami)

* Lunghezza d'arco della catenaria

$$s = l(\overline{PS}) = \int_0^x \sqrt{1 + \sinh^2 t} dt = \int_0^x \cosh t dt = \sinh x$$

$$Q = P + (R - P) = P - \underbrace{\sinh x}_{\text{tang}} \frac{dP}{ds} = P + \sinh x \frac{dP}{dx} \frac{dx}{ds}$$

$$= P + \underbrace{\frac{\sinh x}{\cosh x} \frac{dP}{dx}}_{\tanh x} = \left| \begin{array}{l} \alpha \underline{i} + \cosh x \underline{j} \\ (-\tanh x) (\underline{i} + \sinh x \underline{j}) \end{array} \right|$$

$$= (\alpha - \tanh x) \underline{i} + \left(\cosh x - \frac{\sinh^2 x}{\cosh x} \right) \underline{j} =$$

$$= (\alpha - \tanh \alpha) \underline{i} + \frac{\cosh^2 \alpha - \sinh^2 \alpha}{\cosh \alpha} \underline{j}$$

$$= (\alpha - \tanh \alpha) \underline{i} + \frac{1}{\cosh \alpha} \underline{j} \quad \leftarrow \text{Cattive}$$

\sim

posta $\alpha = t$

$\sech \alpha$

$\left\{ \begin{array}{l} x = t - \tanh t \\ y = \operatorname{sech} t \end{array} \right.$

eq. parametriche della
tra trice discusse in precedenza

Osservazioni [qui $\alpha \equiv t$]

1. Si trova, per la curvatura di γ ,

$$\kappa(\alpha) = \frac{y'}{P} = \frac{1}{\delta_{\text{cat}}} = \frac{1}{\operatorname{sech} \alpha}$$

Sicché $\kappa = \boxed{-\tanh \alpha = \frac{1}{\operatorname{sech} \alpha}}$

già trovato

controllo (V. V. 18)

$$\tanh \alpha = \frac{\operatorname{sech} \alpha}{-\tanh \alpha} = -\frac{1}{\cancel{\operatorname{cosec} \alpha}} \frac{\cancel{\cosh \alpha}}{\operatorname{sech} \alpha} = -\frac{1}{\operatorname{sech} \alpha} \quad \checkmark$$

In definitiva, abbiamo determinato κ in due modi diversi, evitando il calcolo diretto.

Esempi

$$P: \quad y^2 = 2px$$

$$E_P: 27Py^2 = 8(x - P)^3 \quad \text{parabola semicubica}$$

$$\frac{x^2}{a^2} \pm \frac{y^2}{b^2} = 1$$

$$E_E: \frac{(ax)^2}{c^2} \pm \left(\frac{by}{c^2}\right)^2 = 1 \quad \text{astroide}$$

$$c^2 = a^2 + b^2$$

γ traiettoria

E_γ catenaria

C cicloide

E_C : cicloide

Teorema ("Umlauf Satz" di Koenig)

Sia γ ($\gamma : [0, l] \rightarrow \mathbb{R}^2$) liscia, regolare

similee, chiusa. Allora

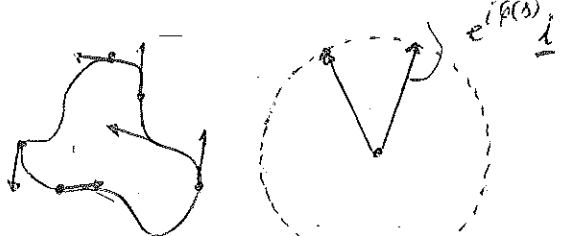
$$\frac{1}{2\pi} \int_0^l R ds = \pm 1 \quad \begin{array}{l} \text{a seconda dell'orientamento} \\ (\text{anticorario: } +; \text{ orario: } -) \end{array}$$

R = curvatura (con segno)

Commento

$$R = \frac{d\varphi}{ds} \quad \text{sicché}$$

(esemp. $R > 0$)

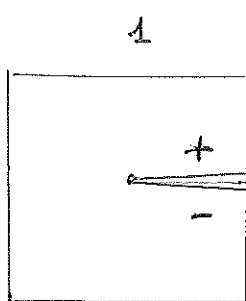
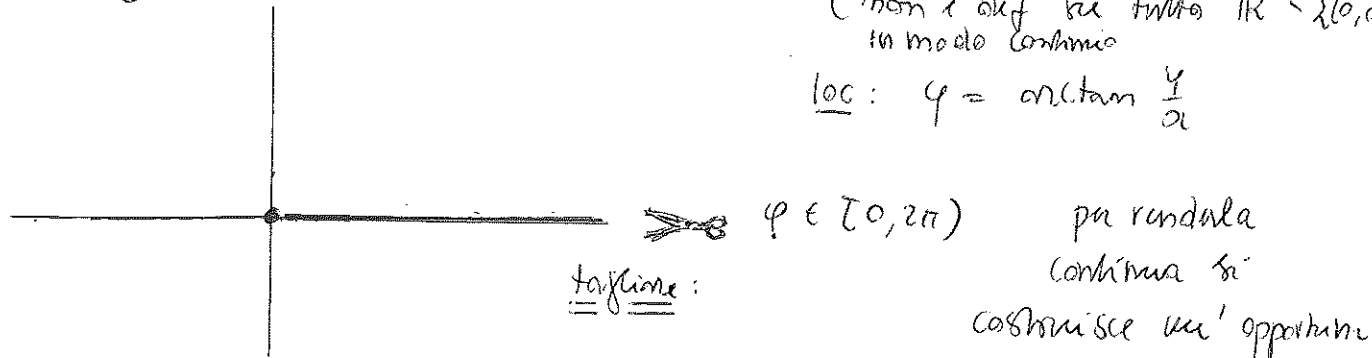


Digressione:

φ : funzione angolo

(non è def. su tutto $\mathbb{R}^2 - \{(0,0)\}$
in modo continuo)

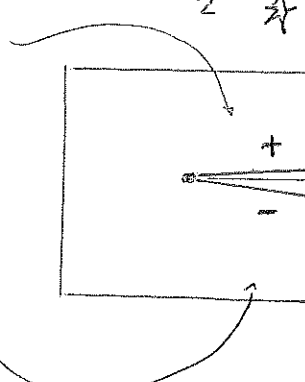
$$\text{loc: } \varphi = \arctan \frac{y}{x}$$



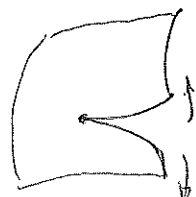
limbo superiore

due copie

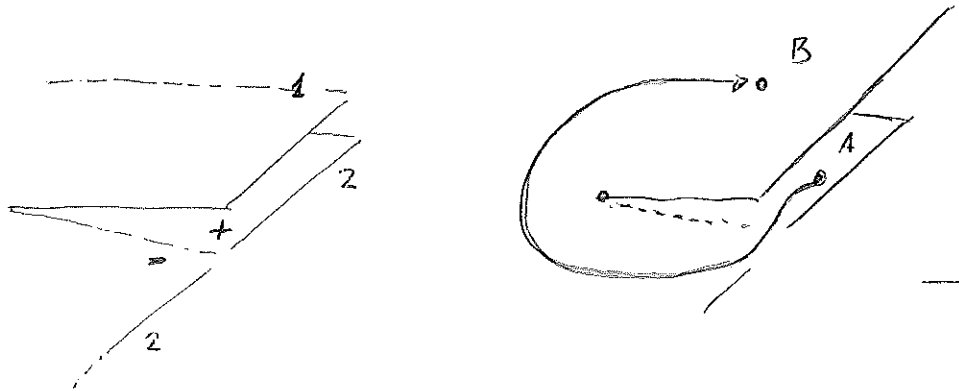
limbo inferiore



2 Superficie di Riemann

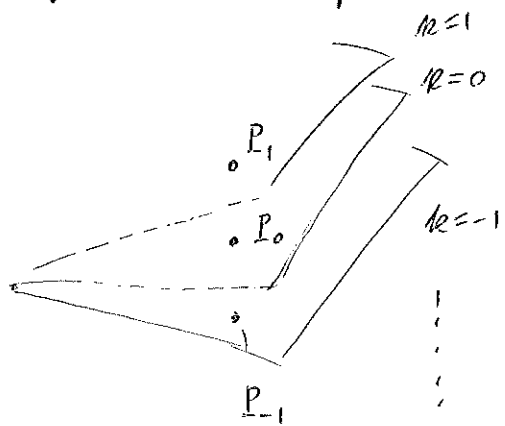


Si farà in ora coniugare il limbo inferiore di 1 (-) col limbo superiore di 2 (+)



diverse determinazioni di φ ($= \varphi_0 + 2k\pi$)

\rightsquigarrow avverrà "fogli" della superficie di Riemann



Sia $z \in \mathbb{C}^* = \mathbb{C} \setminus \{0\}$

formalmente

$$\log z = \log |z| e^{i\varphi} = \log |z| + \log e^{i\varphi} = \log |z| + i\varphi$$

log reale
vogliamo
 $\log(z_1 \cdot z_2) = \log z_1 + \log z_2 \dots$

$\frac{1}{2} \log(x^2+y^2) + i \arctan \frac{y}{x}$
v
loc.

\log risulta polidroma (cioè "a più valori")

diviene monodroma (cioè è ben definita, ad un sol valore).

(come dev' essere per una funzione!) sarà appropriata

Superficie di Riemann

$$\begin{aligned} \text{Si assume che } d \log z &= \frac{dz}{z} = \frac{\bar{z} dz}{|z|^2} = \frac{(x-iy)(dx+idy)}{x^2+y^2}, & \text{formula chiusa} \\ \frac{x dx + y dy}{x^2+y^2} + i \left(\frac{y dx - x dy}{x^2+y^2} \right) &= \frac{1}{2} \frac{d(x^2+y^2)}{x^2+y^2} + i d\varphi \quad \left. \begin{array}{l} \text{formula}\\ \text{monodroma} \end{array} \right\} \quad \begin{array}{l} \text{formula chiusa} \\ \text{non esistente} \\ \text{in } (0,0) \end{array} \\ &\approx d\varphi \end{aligned}$$

Il teorema è ovvio per una circonferenza.

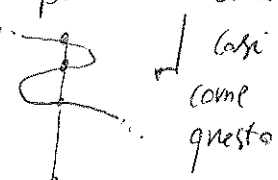
Ora, una curva liscia, regolare, semplice e chiusa C è omotopica ad una circonferenza C_0 (percorso una volta in senso antiorario, per es., fissando un apposito orientamento)

vale a dire, esiste una funzione continua di classe C_1 , $\varphi : [0, 2\pi] \rightarrow C$

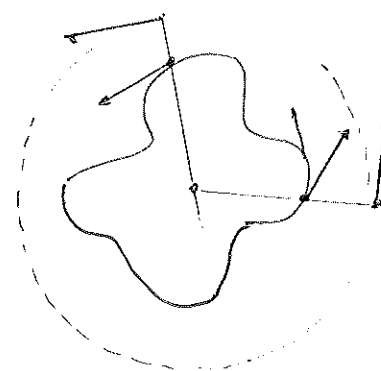
$$\text{tale che } C_0 = C, \quad \varphi(0) = C_0$$

$$\text{e } C_0 = C \Leftrightarrow \varphi = \rho(\varphi), \quad \varphi \in [0, 2\pi]$$

ammettiamo di poterla descrivere in coordinate polari escludendo



per $0 \leq \sigma \leq 1$ poniamo $\varphi_\sigma : \varphi \mapsto \sigma(R - \rho(\varphi)) + \rho(\varphi)$



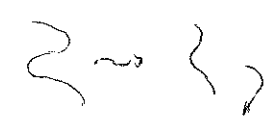
$$\sigma = 0 \Rightarrow \varphi \mapsto \rho(\varphi)$$

$$\sigma = 1 \Rightarrow \varphi \mapsto R$$

questi si possono comunque

"taggizzare" operando con deformazioni continue...

$$\text{l'intervallo } \frac{1}{2\pi} \int_0^1 R d\sigma = \frac{1}{2\pi} \int_0^{2\pi} d\varphi = I \in \mathbb{Z}$$



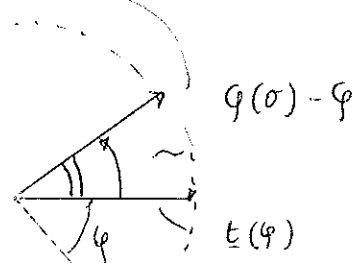
$$\text{Ma } [0, 1] \ni \sigma \mapsto I_\sigma \in \mathbb{Z}$$

I relativo a C_0

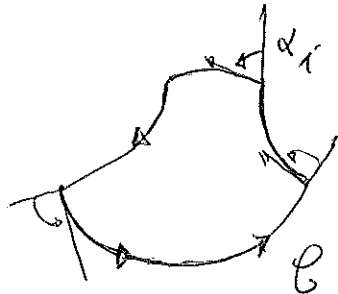
è senz'altro una funzione continua, a valori integri e pertanto è necessariamente costante.

(l'immagine di $[0, 1]$ è convessa, pertanto si riduce ad un singolo punto!). Ma poiché la circonferenza data $I_0 = +1$, da cui l'argomento.

l'angolo tra le → non mai
rispettive tangenti
superiore a 2π , in modulo



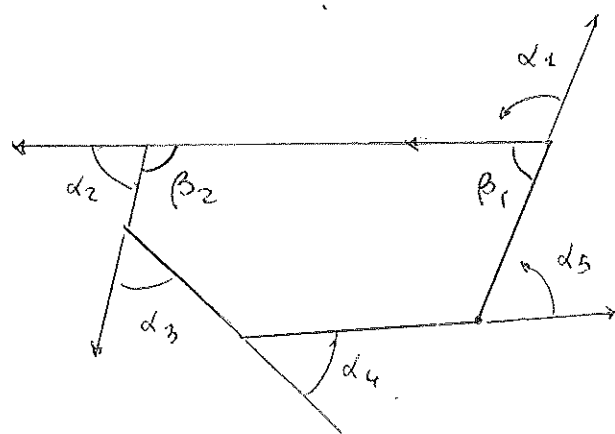
Se \mathcal{C} è regolare a tratti, il teorema di Hopf
diviene



$$\frac{1}{2\pi} \int_{\mathcal{C}} k \alpha ds + \sum \alpha_i = \pm 1$$

angoli esterni

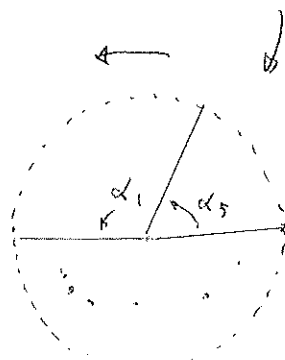
(nell'esempio viene $+1$)



... e, pertanto, la somma
degli angoli interni vale $(n-2)\pi$

corollario: la somma
degli angoli esterni di
un poligono convesso
vale 2π

dim. diretta...



dove: Si ha $\alpha_i + \beta_i = \pi$

$$\Rightarrow \sum_i \beta_i = \sum_i (\pi - \alpha_i) = n\pi - \underbrace{\sum_{2\pi} \alpha_i}_{2\pi} = (n-2)\pi.$$

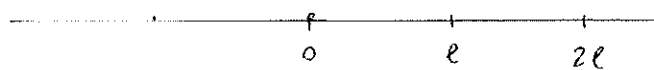
II teorema dei quattro vertici

Sia \mathcal{C} una curva liscia, semplice, chiusa, convessa
 (oppure concava)

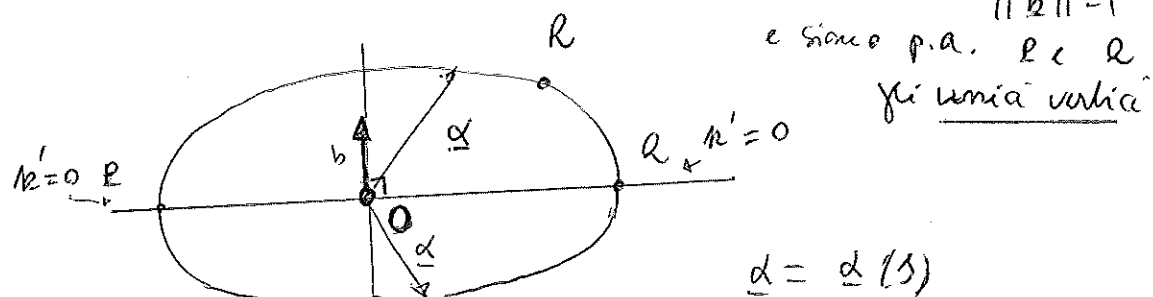
Allora essa possiede almeno 4 vertici (\equiv punti in cui $R' = 0$)
 (punti critici della curvatura)

Dim. $R: [0, \ell] \ni s \rightarrow R(s) \in \mathbb{R}$

liscia, $R(0) = R(\ell)$ (\mathcal{C} liscia come f. periodica ...)



In $[0, \ell]$ ammette max e minimo assoluto, che possiamo supporre distinti (altrimenti \mathcal{C} sarebbe una circonferenza...) e intorni a $0, \ell$. Tracciamo PQ , $\mathbf{b} \perp PQ$,



Osservazione cruciale

Si può supporre (v. figura)
 $(\text{da } \langle \underline{\alpha}, \underline{b} \rangle \geq 0 \text{ dove } k' > 0)$

$$\begin{aligned} \text{ora } \int_0^\ell R'(\underline{s}) \underline{\alpha}(\underline{s}) ds &= \underbrace{\int_0^\ell (R \underline{\alpha}') ds}_{\Omega} - \int_0^\ell R(\underline{s}) \underline{\alpha}' ds \\ &= \int_0^\ell \underline{n}' ds = 0 \end{aligned}$$

Da ciò si ha:

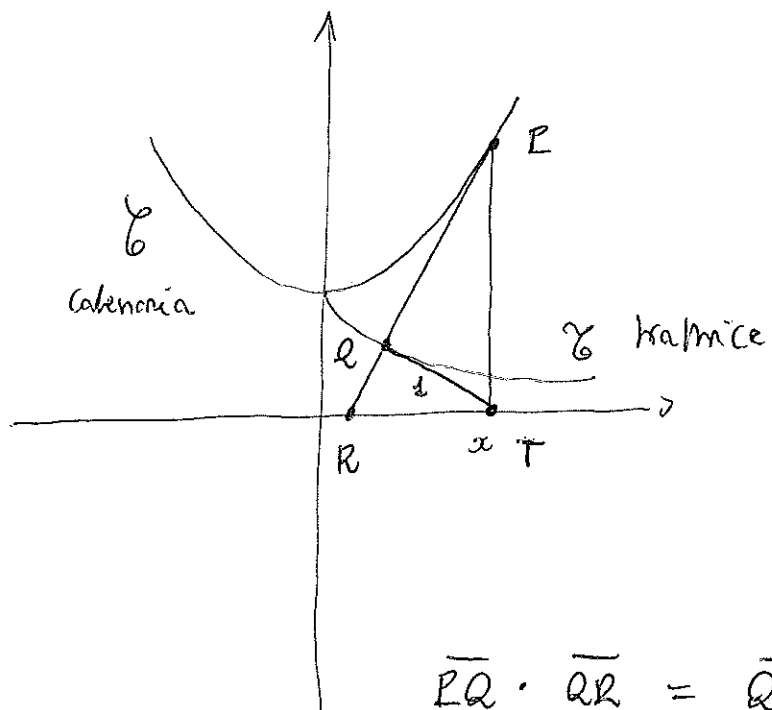
$$\int_0^l \mathbf{R}' \cdot \langle \underline{d}, \underline{b} \rangle \, ds = 0$$

ma, per come è stato orientato \underline{b} , l'integrando
 ≥ 0 (\underline{b} non è id. nullo). Ciò porta ad una

contradizione. Quindi deve esistere almeno

un terzo vertice R . Ma allora, su due archi
contigui (due tra quelli individuati da P, Q, R), \mathbf{R}' ha
lo stesso segno. Rasonando come prima, si conclude
che ciò è affurto. Deve pertanto esistere un quarto vertice. \square

2. Si noti la configurazione seguente



$$\overline{PQ} \cdot \overline{QR} = \overline{QT}^2 = 1$$

di cruciale importanza per il seguito !!